Domain Generalization のための MixStyle-based Contrastive Test-time Adaptation

山下 滉太1,a) 堀田 一弘1,b)

要旨

本論文は Computer Vision and Pattern Recognition 分野におけるトップカンファレンスである CVPR2024(The IEEE/CVF Conference on Computer Vision and Pattern Recognition 2024) における Workshop のフルペーパー査読を通過し、採択された論文を再構成したものである。近年、Domain Generalization 研究では、テスト時にモデルを適応する Test-time Adaptation TTA) 手法への関心が高まっている。 TTA の代表的手法である Test-time Training TTT) の問題点を改善するために、MixStyle-based Contrastive Test-time Adaptation MCTTA)を提案する。3つのデータセットを用いた実験において、TTT やその他 TTA 手法、従来の Domain Generalization 手法と比較して、提案する MCTTA の有効性を示した。

1. はじめに

ディープラーニングでは、異なるドメインや環境におい て同等の性能を維持することは依然として難しい課題であ る. この課題への対処には、Domain Generalization の研 究 [1][2] が重要な役割を果たしている. Domain Generalization は、学習ドメインとは異なるドメインのデータに 対しても、高精度で汎用性の高いモデルを開発することを 目指している. Domain Generalization に対するアプロー チは、大きく以下の三つのカテゴリーに分類される。第一 カテゴリーとして、Data Augmentation をはじめとする データレベルのアプローチがある. 例えば、Mixup[3] は 異なるドメインの画像を重ね合わせて新しい学習画像を 生成する手法であり、モデルがドメイン固有の特徴に過剰 適合するのを防ぐ. Mixup が画像単位でドメイン情報を 混合しているのに対し、我々の研究で利用する既存手法の MixStyle[4] では特徴量単位でドメイン情報を混合する. 具 体的には、CNN[5] モデルの浅い層から出力される特徴量の 平均と標準偏差を Instance Normalization[6] を通じてバッ

チ間で混合し、ドメイン情報が混在した特徴量を生成する. 第二カテゴリーとしてモデルレベルのアプローチがある. 例えば SagNet[7] は content-biased network, style-biased network と呼ばれる2つのネットワークを通じて、画像の スタイル(例えば、色調やテクスチャ)から形状などの コンテンツを分離し、モデルがスタイルの違いに左右さ れずにコンテンツに基づいて判断できるようにする. 第 三カテゴリーとしてアルゴリズムレベルのアプローチが ある. 例えば、Meta-Learning for domain generalization (MLDG) [8] は、Domain Generalization のために設計さ れた Meta-learning 手法であり、複数のドメインのデータ を用いて Meta-learning を行い、モデルが未知のドメイン に対しても良好なパフォーマンスを発揮する. また, 近年 注目されている Test-time Adaptation (TTA) [9] もこの カテゴリーに属する. TTA の主な目的は、モデルをテス ト時にリアルタイムで適応することにより、学習時には末 学習であったテストドメインのデータに対しても一貫した 性能を発揮させることである. Test-time Training (TTT) [10] は TTA の代表的な手法であり、まず学習データを用 いて解きたいタスクと Rotation Prediction のような自己 教師ありタスクのマルチタスク学習を行う. その後, テ ストデータに対して自己教師あり学習によりモデルをテ ストデータに適応させ、学習データとテストデータのド メインの差異を吸収する. TTT は Domain Generalization に有効な手法であるが、いくつかの問題がある。第一に、 Rotation Prediction などの一般的な自己教師タスクが, Domain Generalization に特化したタスクではなく, モデ ルの汎化に直接貢献しないこと、第二に、学習ドメインや テストドメインにより最適な自己教師ありタスクが異なり, 不適切なタスクを選択するとモデルの性能が低下すること である. 自己教師ありタスクの選択は定量的な基準ではな く直観に頼る必要があり、これは適応を必要とする TTA において大きな課題である.一方, TENT[11] は自己教師 タスクではなく教師なしタスクを利用する TTA である. 学習時に TTT のようなマルチタスク学習を行わず、メイ ンタスクのみを学習しておき, テストデータ時に教師なし

学習である Entropy Minimization を用い、モデルの Batch

¹ 名城大学

a) 200442179@ccalumni.meijo-u.ac.jp

b) kazuhotta@meijo-u.ac.jp

Normalization[12] 層の更新を行うことによりモデルをテストデータに適応させる. TENT はテストデータに対する Entropy Minimization のみを行えば良く,非常に手軽な手法であるが,ドメインによっては TTT よりも精度が劣ることがある.

これらの問題に対処するため, TTT を改善した新しい TTA である MixStyle-based Contrastive Test-time Adaptation (MCTTA) を提案する. MCTTA では, MixStyle を 用いた新たな Contrastive Learning である MixStyle-based Contrastive Learning (MCL) を用い、異なるドメインに 対して一貫した特徴量を抽出できるよう特徴抽出器を学 習する.MCL では,Data Augmentation に特徴空間での MixStyle を使用する, Domain Generalization に特化した 独自の Contrastive Learning[13][14] であり、同一構造で 初期値の異なる2つのモデルを使用する. MCTTA の学 習プロセスは、Training と TTA フェーズに分かれてお り、Training フェーズでは最終的に解きたいタスク(以 下 Classification と仮定) の Ensemble Learning と MCL を 用いて Domain Generalization に特化したマルチタスク学 習 [15] を行う. その後, TTA フェーズにてテストデータに MCL を実行し、特徴抽出器をテストデータに適応させる.

DomainBed[16] ベンチマークライブラリと PACS[17], Office-Home[18], Colored MNIST[19] の3つデータセットを用いた実験により、提案手法はTTT に対して平均1.7%の精度向上に成功し、その他TTA 手法、従来の Domain Generalization 法と比較しても最も高精度を達成した。また、MCL が Domain Generalization に関して従来の Contrastive Learning よりも優れていることと、2つのモデルを用いて Ensemble Classification とモデル間で MCL を行うことの有効性も確認した。

本論文の構成は以下の通りである。2節で提案手法を説明し、3節で実験結果を示す。最後に、4節で結論を述べる。

2. 提案手法

本稿では、TTTの課題に対する非常にシンプルかつ強力な解決策としてMCTTAを提案する。第一の課題に対する解決策としてMCTTAでは、Domain Generalizationに特化した独自のContrastive LearningであるMCLを用いる。色変換やランダムなトリミングによる従来のContrastive Learningとは異なり、MCLはData Augmentationとして、特徴空間でMixStyleを使用する。このMCLにより、モデルは様々なドメインにわたって一貫した特徴量で識別ができるようになる。なお、MCLは一般的なContrastive Learningとは異なり、2つの特徴抽出器を使用するが、これらの特徴抽出器はEnsemble Learningにより、MCLだけでなくClassificationの安定性と精度を向上させるためにも有効活用される。また第二の課題に対しては、MCTTAが様々なドメインに対して普遍的に使用することができる

ことを3節の評価実験にて示す. なお, MCTTA は1節で記述した, Domain Generalization に対する三つのアプローチを全て兼ね備えているにもかかわらず, 非常にシンプルな手法であることは特筆すべき点である. データレベルのアプローチには MixStyle, モデルレベルのアプローチには 2 つの特徴抽出器を用いた Ensemble Classification, アルゴリズムレベルのアプローチには MCL によるテストドメインへの適応を用いている.

2.1 節では学習データを使用して, Ensemble Classification と MCL によるマルチタスク学習を行う Training フェーズについて説明し、2.2 節ではテストデータを使用した MCL により, 特徴抽出器をテストドメインに適応する TTA フェーズについて説明する.

2.1 Training フェーズ

MCTTA の Training フェーズの目的は Ensemble Classification と MCL のマルチタスク学習を通じて、様々な ドメインに対して一貫した特徴量を抽出することができ るよう特徴抽出器を学習することである. 学習データを xとする(前処理は行わない). x は同一構造で異なる初 期値を持つ2つの特徴抽出器に入力され、2種類の出力が 得られる. 図 2.1 に示すように、一方の出力は単純な特徴 抽出から得られる特徴量であり、他方出力は MixStyle を 適用し、バッチ間でドメイン情報を混合した特徴量であ る. 学習の各ステップで MixStyle を適用する層は、特徴 抽出器の中間の Convolution よりも入力に近い側の層から ランダムに選択される. 浅い層に限定しているのは、ドメ イン情報が CNN の浅い層で主に表現される [4] ためであ り、ランダムに選択を行う理由は、ドメイン情報の混合 に多様性を持たせるためである. 得られた全ての特徴量 は, Ensemble Classification と MCL の両方に利用される. Ensemble Classification は、Classification の安定性と精度 を向上させ、さらに MixStyle を使用しているため、通常 の Classification に比べて Domain Generalization も促進 される. MCL では、MixStyle を行っていない特徴量と、 MixStyle を行ってバッチ間でドメイン情報が混ざった特 徴量の間で Cosine Similarity に基づく Loss が算出され, 特徴量間の類似度を最大化することにより、特徴抽出器が 様々なドメインに対して一貫した特徴を抽出できるように なり、Domain Generalization が促進される.

まず、Ensemble Classification を定式化する。 \mathcal{P}_{ori} は一方の特徴抽出器のうち MixStyle を実行していない特徴量から得たクラスの確率分布、 \mathcal{P}_{mix} は一方の特徴抽出器のうち MixStyle を実行した特徴量から得たクラスの確率分布を表す。同様に、他方の特徴抽出器から得たクラスの確率分布を \mathcal{P}'_{ori} 、 \mathcal{P}'_{mix} とする。また、y は正解ラベルを、CE は Cross Entropy Loss を表している。

$$Pre = \frac{\mathcal{P}_{ori} + \mathcal{P'}_{ori}}{2}, Pre' = \frac{\mathcal{P}_{mix} + \mathcal{P'}_{mix}}{2}$$
(1)

$$\mathcal{L}_{ce} = CE(Pre, y) + CE(Pre', y) \tag{2}$$

次に MCL の定式化を行う。 \mathcal{Z}_{ori} は一方の特徴抽出器のうち MixStyle を実行していない特徴量, \mathcal{Z}_{mix} は,一方の特徴抽出器のうち,MixStyle を実行した特徴量を表している。同様に,他方の特徴抽出器から得た特徴量を \mathcal{Z}'_{ori} , \mathcal{Z}'_{mix} とする。また,はベクトルの内積, $\|$ $\|$ はベクトルのノルムを表している。

$$\mathcal{L}_{cos} = 2 - \left(\frac{\mathcal{Z}_{ori} \cdot \mathcal{Z}'_{mix}}{\|\mathcal{Z}_{ori}\| \|\mathcal{Z}'_{mix}\|} + \frac{\mathcal{Z}'_{ori} \cdot \mathcal{Z}_{mix}}{\|\mathcal{Z}'_{ori}\| \|\mathcal{Z}_{mix}\|}\right) \quad (3)$$

そして、Training フェーズの最終的な Loss は、

$$\mathcal{L}_{train} = \mathcal{L}_{ce} + \alpha \mathcal{L}_{cos} \tag{4}$$

である. Training フェーズでは \mathcal{L}_{train} を最小化するよう 2 つの特徴抽出器と 2 つの分類器を学習する. なお, α はハイパーパラメータである.

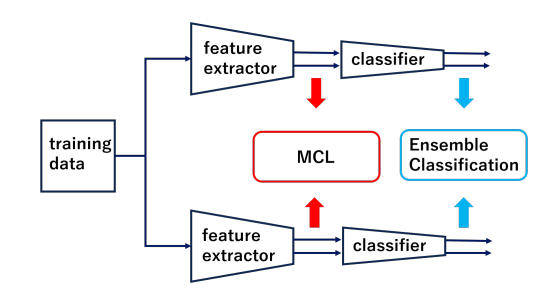


図 1 MCTTA の Training フェーズにおける全体図



図2 MCTTA における特徴抽出過程

2.2 TTA フェーズ

MCTTA のTTA フェーズの目的は、MCL を用いて特徴抽出器をテストデータに適応させることである。TTTでは、Training フェーズで回転予測などの一般的な自己教師ありタスクと Classification のマルチタスク学習を行い、TTA フェーズで自己教師タスクを行うことにより、学習データとテストデータのドメインの差異を特徴抽出器が吸収することができる。MCTTAでは、ドメイン汎化に特化した自己教師ありタスクである MCL を用いるため、テストデータを使用してドメインの差異を吸収するだけでなく、モデルのドメインに対する汎化をさらに向上させることが可能である。TTA フェーズは、テストデータを推論する際にオンライン方式で実施され、更新したパラメータはそれ以降のテストでも保持される。テストデータに対し

て Training フェーズと同じ特徴抽出が行われるが,テストデータにはクラスラベルが存在しないため, Ensemble Classification は行われず, MCL のみでモデルを学習する. なお,推論には Ensemble Classification を用いる.

TTA フェーズの最終的な Loss は、式(3)を用いて、 $\mathcal{L}_{tta} = \mathcal{L}_{cos}$ と表される.TTA フェーズでは \mathcal{L}_{tta} を最小化するように 2 つの特徴抽出器のみを学習する.ただし、学習率は Training フェーズの β 倍する.ここで、 β はハイパーパラメータである.

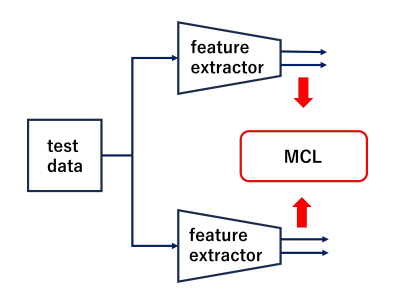


図 3 MCTTA の TTA フェーズの概要

3. 評価実験

評価実験には、客観性を担保するために Domain Bed ベンチマークライブラリを使用し、データセットには、PACS、Office-Home、Colored MNIST の 3 つを用いる。PACS には 7 クラスの 9,991 枚の画像、そして Photo、Art Painting、Cartoon、Sketch の 4 つのドメインが含まれており、現在 Domain Generalization の研究分野で最も広く使用されている。Office-Home には、15,588 枚の画像、65 のクラス、そして Art、Clipart、Product、Real World の 4 つのドメインが含まれている。Colored MNIST は、70,000 枚の画像、2 つのクラスを持ち、MNIST[20] に色を付け、3 つのドメインを作成したデータセットである。

学習画像はドメイン毎に 8:2 (train:validation) の割合 で分割される.この分割は試行ごとに DomainBed により 動的に選択される.モデルはテストドメインを除く全ての ドメインを用いて 5,000 イテレーション学習され、テスト ドメインでテストを行う. テストに使用するモデルの選 択には、DomainBed において training-domain validation set と呼ばれるモデル選択法が採用される.この方法では、 DomainBed で定められたステップ数ごとに全学習ドメイ ンの validation データにおける平均精度を計算し、この 平均精度が最も高いモデルが選択される. また全実験に おいて、特徴抽出器には ImageNet[21] で事前学習された ResNet18[22] のバックボーンが使用される. 試行は初期 値を変えて10回行い、試行のシード値、学習率、および 拡張スキルは DomainBed に従って動的に設定され、バッ チサイズは32で統一する.提案手法独自のハイパーパラ メータ α , β (2.1, 2.2 節参照) は、全実験において $\alpha = 1$ 、

 $\beta=0.1$ とする。 $\alpha=1$ とするのは Ensemble Classification と MCL を同じ割合でモデルの学習に活用するためであり, $\beta=0.1$ とするのは,モデルがテストデータに対して過剰に適応することを防ぐためである. 過剰な適応が続くと,様々なドメインに対して一貫した特徴量を抽出することができる特徴抽出器がその能力を失ってしまう可能性がある. なお,TTT の自己教師タスクには Rotation Prediction を用いる.

表 1 3 つのデータセットを用いた実験結果

Algorithm	PA	ОН	$\mathbf{C}\mathbf{M}$	Avg	RC ↓
ERM	80.6	58.0	51.3	63.3	44
Fish	81.9	59.5	52.0	64.5	27
$\operatorname{GroupDRO}$	80.2	57.7	51.6	63.2	44
Mixup	79.3	61.3	51.5	64.0	40
MLDG	82.1	57.7	52.1	64.0	27
CORAL	82.1	62.9	51.9	65.6	20
MTL	80.0	57.8	51.6	63.1	44
SagNet	82.7	60.6	51.9	65.1	22
ARM	82.1	57.4	53.4	64.3	24
VREx	81.2	58.8	52.2	64.1	29
SD	82.0	63.0	52.0	65.7	20
${\rm ANDMask}$	77.0	57.1	52.2	62.1	40
SelfReg	81.7	63.5	51.7	65.6	26
TRM	81.9	59.5	50.0	63.8	38
TENT	83.0	62.6	51.9	65.8	19
SHOT	83.6	63.5	51.9	66.3	12
TTT	83.4	60.6	52.3	65.4	14
ours	84.6	63.5	53.2	67.1	4

表1の3つのデータセット名の下に初期値を変えた10 回の試行によるテストドメインの平均精度(%)を示す. 例えば PACS (PA) の場合, Photo をテストドメインと し、その他3つのドメインでモデルを学習した場合の精 度と、Art Painting をテストドメインとした場合の精度、 Cartoon をテストドメインとした場合の精度, Sketch をテ ストドメインとした場合の精度の4つのテストドメインの 平均精度を示している. Avg は3つのデータセットの平均 値を表し、Rank Score (RC) は、3 つのデータセットに対 する手法の順位を加算したスコアである. 例えば、提案手 法 (ours) では PA で 1 位, OH で 1 位, CM で 2 位のため RCは4である.なお同一順位の手法が存在する場合は、 最も少ないスコアが加算される. 例えば OH では同率 1 位 が3手法存在するため、これら3手法には1スコア、次に 精度が良い手法は4位として4スコア加算される.なお、 TENT, SHOT[23], TTT, ours はTTA 手法であり, その 他の手法はテスト時にモデルを適応しない従来の Domain Generalization 手法である.

提案手法は、TTT と比較して PA では 1.2%、OH では 2.9%、CM では 0.9%、Avg では 1.7%の精度向上に成功しており、様々なドメインに対して有効な学習であることが分かる。TTT のようなマルチタスク学習を行わず、教師な

し学習のみでモデルをテストドメインに適応する TENT と比較した場合,提案手法は PA では 1.6%,OH では 0.9%,CM では 1.3%,Avg では 1.3%優っている。また,TENT は TTT に対して,Avg では 0.4%優っているが,CM では 0.4%劣っており,1節で述べたように,全てのドメインに対して TTT より有効な手法であるとまでは言えないこが分かる。また,疑似ラベル付けを用いた TTA である SHOT は,Avg が 66.3%であり,TTT を 0.9%上回る高精度を達成しているが,我々の提案手法は SHOT よりもさらに平均 0.8%優っている。その他,1節において述べた,Mixup や SagNet,MLDG などの,テスト時にモデルを適応しない従来の Domain Generalization 手法と比較しても,MCTTA は最も優れた平均精度を達成していることが分かる。さらに RC で比較した場合においても,最も優れているのは提案手法であることが分かる。

表 2 MCL の有効性

Color	MixStyle	PA	ОН	$\mathbf{C}\mathbf{M}$	Avg
✓	-	74.5	59.6	54.9	63.0
_	✓	84.6	63.5	53.2	67.1

表2では、MCLの有効性の確認として、ランダムな色変換を画像単位で行う従来の Contrastive Learning(表2における Color)と、MixStyle を特徴量単位で行う MCL(表2における MixStyle)の精度を比較する。なお、その他のアルゴリズムは全て提案手法と同一である。MixStyleを用いた MCL は、ランダムな色変換と比較して、Avgにおいて 4.1%精度を向上させており、MCL が非常に有効に働いていることが分かる。ただし、MNIST に色を付けて異なるドメインを作成した CM では 1.7%劣った結果となっており、これは色が異なるドメイン間で一貫した特徴を抽出することができるよう学習行う従来の Contrastive Learning (Color)が CM と相性が極端に良いためである。

表 3 2 つのモデルを使用することの有効性

Ensemble Learning	PA	ОН	$\mathbf{C}\mathbf{M}$	\mathbf{Avg}
-	83.4	62.7	52.9	66.3
\checkmark	84.6	63.5	53.2	67.1

表 3 では,同一構造で初期値の異なる 2 つのモデルを使用することの有効性を示すために,1 つのモデルで Classification と MCL を行う場合と,提案手法のように 2 つのモデルを用いて Ensemble Classification とモデル間で MCL を行う場合を比較する。2 つのモデルを使用することにより,PA では 1.2%,OH では 0.8%,CM では 0.3%,Avg では 0.8%精度が向上しており,その有効性が確認できる.

4. おわりに

TTTの問題点を改善するために、Domain Generalization に特化した独自の Contrastive Learning である MCL を用いた新しい TTA である MCTTA を提案した。DomainBed ベンチマークライブラリと 3 つのデータセットを用いた実験を行い、MCTTA は TTT から平均 1.7%の精度向上に成功し、従来の Domain Generalization 法と比較して最も優れた精度を達成した。また、MCL と 2 つのモデルを使用することの有効性も確認した。

参考文献

- Kaiyang Zhou, Ziwei Liu, Yu Qiao, Tao Xiang, and Chen Change Loy. Domain generalization: A survey. IEEE Transactions on Pattern Analysis and Machine Intelligence, 2022.
- [2] Jindong Wang, Cuiling Lan, Chang Liu, Yidong Ouyang, Tao Qin, Wang Lu, Yiqiang Chen, Wenjun Zeng, and Philip Yu. Generalizing to unseen domains: A survey on domain generalization. *IEEE Transactions on Knowledge and Data Engineering*, 2022.
- [3] Hongyi Zhang, Moustapha Cisse, Yann N Dauphin, and David Lopez-Paz. mixup: Beyond empirical risk minimization. ICLR 2018, 2017.
- [4] Kaiyang Zhou, Yongxin Yang, Yu Qiao, and Tao Xiang. Domain generalization with mixstyle. ICLR 2021, 2021.
- [5] Zewen Li, Fan Liu, Wenjie Yang, Shouheng Peng, and Jun Zhou. A survey of convolutional neural networks: analysis, applications, and prospects. *IEEE transactions* on neural networks and learning systems, 2021.
- [6] Dmitry Ulyanov, Andrea Vedaldi, and Victor Lempitsky. Instance normalization: The missing ingredient for fast stylization. arXiv preprint arXiv:1607.08022, 2016.
- [7] Hyeonseob Nam, HyunJae Lee, Jongchan Park, Wonjun Yoon, and Donggeun Yoo. Reducing domain gap by reducing style bias. In Proceedings of the IEEE/CVF Conference on Computer Vision and Pattern Recognition, pp. 8690–8699, 2021.
- [8] Da Li, Yongxin Yang, Yi-Zhe Song, and Timothy Hospedales. Learning to generalize: Meta-learning for domain generalization. In Proceedings of the AAAI conference on artificial intelligence, Vol. 32, 2018.
- [9] Jian Liang, Ran He, and Tieniu Tan. A comprehensive survey on test-time adaptation under distribution shifts. arXiv preprint arXiv:2303.15361, 2023.
- [10] Yu Sun, Xiaolong Wang, Zhuang Liu, John Miller, Alexei Efros, and Moritz Hardt. Test-time training with selfsupervision for generalization under distribution shifts. In *International conference on machine learning*, pp. 9229–9248. PMLR, 2020.
- [11] Dequan Wang, Evan Shelhamer, Shaoteng Liu, Bruno Olshausen, and Trevor Darrell. Tent: Fully test-time adaptation by entropy minimization. ICLR 2021 Spotlight, 2020.
- [12] Sergey Ioffe and Christian Szegedy. Batch normalization: Accelerating deep network training by reducing internal covariate shift. In *International conference on machine* learning, pp. 448–456. pmlr, 2015.
- [13] Ashish Jaiswal, Ashwin Ramesh Babu, Mohammad Zaki Zadeh, Debapriya Banerjee, and Fillia Makedon. A survey on contrastive self-supervised learning. *Technologies*, Vol. 9, No. 1, p. 2, 2020.
- [14] Pranjal Kumar, Piyush Rawat, and Siddhartha Chauhan. Contrastive self-supervised learning: review, progress, challenges and future research directions. *Inter*national Journal of Multimedia Information Retrieval, Vol. 11, No. 4, pp. 461–488, 2022.
- [15] Sebastian Ruder. An overview of multi-task learning in deep neural networks. arXiv preprint arXiv:1706.05098, 2017.
- [16] Ishaan Gulrajani and David Lopez-Paz. In search of lost domain generalization. arXiv preprint arXiv:2007.01434, 2020.
- [17] Da Li, Yongxin Yang, Yi-Zhe Song, and Timothy M Hospedales. Deeper, broader and artier domain generalization. In *Proceedings of the IEEE international con-*

- ference on computer vision, pp. 5542-5550, 2017.
- [18] Hemanth Venkateswara, Jose Eusebio, Shayok Chakraborty, and Sethuraman Panchanathan. Deep hashing network for unsupervised domain adaptation. In Proceedings of the IEEE Conference on Computer Vision and Pattern Recognition, pp. 5018–5027, 2017.
- [19] Martin Arjovsky, Léon Bottou, Ishaan Gulrajani, and David Lopez-Paz. Invariant risk minimization. arXiv preprint arXiv:1907.02893, 2019.
- [20] Yann LeCun, Léon Bottou, Yoshua Bengio, and Patrick Haffner. Gradient-based learning applied to document recognition. *Proceedings of the IEEE*, Vol. 86, No. 11, pp. 2278–2324, 1998.
- [21] Jia Deng, Wei Dong, Richard Socher, Li-Jia Li, Kai Li, and Li Fei-Fei. Imagenet: A large-scale hierarchical image database. In 2009 IEEE conference on computer vision and pattern recognition, pp. 248–255. Ieee, 2009.
- [22] Kaiming He, Xiangyu Zhang, Shaoqing Ren, and Jian Sun. Deep residual learning for image recognition. In Proceedings of the IEEE conference on computer vision and pattern recognition, pp. 770–778, 2016.
- [23] Jian Liang, Dapeng Hu, and Jiashi Feng. Do we really need to access the source data? source hypothesis transfer for unsupervised domain adaptation. In *International* conference on machine learning, pp. 6028–6039. PMLR, 2020.